

10; 11; 12

© 1993

## ЭМИССИЯ КРУПНЫХ ГЕТЕРОЯДЕРНЫХ КЛАСТЕРНЫХ ИОНОВ ПРИ РАСПЫЛЕНИИ ГРАФИТА ИОНАМИ ЦЕЗИЯ

А.Д. Беккерман, Н.Х. Джемилев,  
В.М. Ротштейн

Синтез крупных кластеров углерода  $C_n$  ( $n > 30$ ) является актуальной задачей в материаловедении и неорганической химии [1, 2]. Это связано с их необычной электронной и геометрической конфигурацией, уникальными физическими и химическими свойствами. Так, при легировании структур, состоящих из кластеров  $C_{60}$ , атомами калия наблюдали сверхпроводимость соединений  $C_{60}K_3$  при температуре 18 К [3]. В этой связи представляется очень интересной задача прямой генерации кластерных потоков вида  $C_nX_k^+$ , где  $X$  – атом щелочного металла.

Исследования проводились на вторично-ионном масс-спектрометре с двойной фокусировкой обратной геометрии [4]. Эмиссия положительно и отрицательно заряженных кластерных ионов достигалась бомбардировкой ионами  $Cs^+$  с энергией 8 кэВ. Ток ионов во всех экспериментах поддерживался равным 0.3  $\mu A$  при плотности тока 0.5–1  $mA/cm^2$ .

В качестве мишени использовался поликристаллический графит высокой частоты. Все измерения проводились при комнатной температуре мишени через 10–15 минут после начала распыления. Это время соответствует установлению стационарных условий выхода вторичных ионов и связано с образованием приповерхностного слоя, обогащенного имплантированными атомами  $Cs$ . Подробно методики изучения масс-спектров и мономолекулярной фрагментации кластеров описаны в работе [5].

Наиболее эффективным методом получения крупных кластеров углерода является метод термического лазерного испарения [2]. Этим методом получены потоки кластеров  $C_n^+$  с  $n$  от 2 до 360. Вторично-ионная масс-спектрометрия углерода в его различных аллотропических состояниях при распылении ионами инертных газов дает преимущественно гомоядерные кластерные ионы  $C_n^+$  и  $C_n^-$  ( $n < 15$ ). При этом зависимость интенсивности эмиссии кластеров от их размера носит осциллирующий характер с усилением эмиссии для нечетных  $n$  (положительные ионы) и четных  $n$  (отрицательные ионы) [6].

На рис. 1 представлены масс-спектры вторичных ионов при распылении графита ионами  $Cs^+$ , имеющие ряд существенных отличительных особенностей. Так, гомоядерные кластеры  $C_n^+$  дают малый вклад в общий поток положительных вторичных ионов рис. 1, а. Интенсивность эмиссии  $C_n^+$  быстро спадает с ростом  $n$  и, вслед-

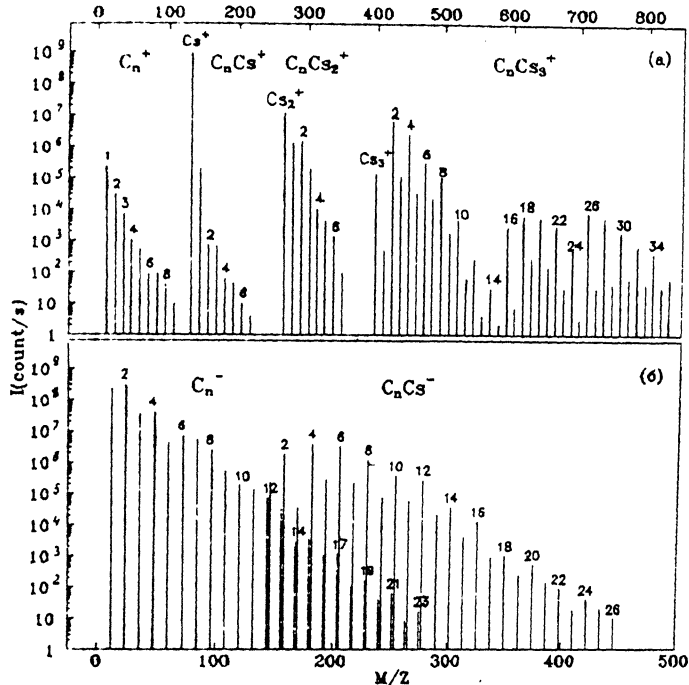


Рис. 1. Масс-спектры вторичных ионов при распылении графита ионами  $\text{Cs}^+$ : а – положительные ионы, б – отрицательные ионы.

ствие этого, четно–нечетные осцилляции практически не проявляются. С другой стороны, этот спектр очень богат гетероядерными кластерами  $C_n \text{Cs}_k^+$ , причем, с ростом числа атомов цезия, входящих в состав кластерных ионов ( $k = 1, 2, 3$ ), вклад соответствующей группы ионов возрастает.

Для распределения кластерных ионов  $C_n \text{Cs}^+$  с ростом числа атомов углерода  $n$  наблюдается непрерывное падение эмиссии. В группе ионов с  $k = 2$  максимум распределения приходится на  $C_2 \text{Cs}_2^+$ , после чего наблюдается монотонное уменьшение интенсивности пиков. Но наиболее интересным является распределение гетероядерных ионов  $C_n \text{Cs}_3^+$ . Обращает на себя внимание протяженность этой группы частиц, сильно выраженная четно–нечетная осцилляция с усилением эмиссии для четных  $n$  и аномально высокий выход ионов с  $n = 16, 18, 26, 28$ .

Распределение отрицательных гомоядерных кластерных ионов показано на рис. 1, б. Видно, что относительная интенсивность  $C_n^-$  на несколько порядков выше, чем  $C_n^+$ . Имеет место четно–нечетная осцилляция вплоть до  $n = 10$  с относительными максимумами для четных  $n$ . Осцилляция наблюдается и для кластерных

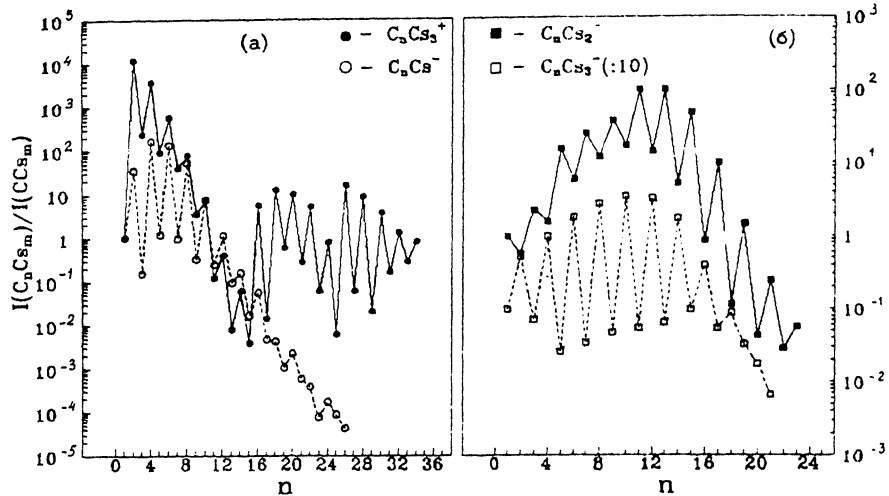


Рис. 2. Диаграммы относительной распространенности гетероядерных кластерных ионов  $C_nCs_m^\pm$ .

ионов с  $n > 10$ , но ее характер меняется и для  $n > 13$  относительный выход кластеров с нечетными  $n$  выше.

Отличительной особенностью рассматриваемых спектров отрицательных вторичных ионов является наличие очень интенсивных пиков гетероядерных кластерных ионов  $C_nCs_k^-$ . Исследования, проведенные нами, показали, что существуют три группы гетероядерных кластеров:  $C_nCs^-$ ,  $C_nCs_2^-$  и  $C_nCs_3^-$ . На рис. 2, а, б представлены диаграммы, характеризующие относительную распространенность кластеров внутри каждой группы. Для первой группы ( $k = 1$ ) были зарегистрированы ионы с числом атомов углерода вплоть до  $n = 26$ . Для всего распределения имеет место четно-нечетная осцилляция с усилением для четных  $n$ .

Вторая группа гетероядерных ионов  $C_nCs_2^-$  также содержит крупные частицы с максимальным числом атомов углерода  $n = 23$ , но в отличие от ионов  $C_nCs^-$ , усиление эмиссии соответствует нечетным  $n$ . Распределение имеет колоколообразную форму с максимумом эмиссии для  $n = 11, 13, 15$ . Четно-нечетная осцилляция имеет место и для кластеров  $C_nCs_3^-$ .

Эксперименты, проведенные ранее [7], показали, что масс-спектры вторичных ионов являются результатом двух одновременно протекающих процессов: образования молекул и их фрагментации. В соответствии с установленным правилом наиболее устойчивые образования наименее подвержены мономолекулярной фрагментации и проявляются в массовых спектрах как более интенсивные пики. В этом отношении изучение процессов фрагментации, как характе-

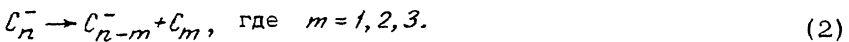
ристики относительной стабильности кластеров, могут существенно помочь в интерпретации вида распределений вторичных ионов. С этой целью были проведены эксперименты по регистрации различных каналов фрагментации гомо- и гетероядерных кластеров.

В силу очень малой вероятности распадов, а также вследствие очень низкого выхода кластерных ионов  $C_n^+$ , их фрагментацию зарегистрировать не удалось. Исключением явилась одна реакция:



где  $P$  — вероятность мономолекулярной фрагментации материнских ионов в первой бесполевой зоне прибора [5].

Для отрицательных ионов  $C_n^-$  наблюдалась фрагментация с образованием одно-, двух- и трехатомных нейтральных осколков:



В первом случае реакция протекала с очень низкой вероятностью для  $n < 10$  ( $P < 10^{-4}\%$ ), причем имела место четно-нечетная осцилляция в величинах вероятности распада с усилением вероятности для нечетных  $n$ . Образование осколка  $C_2$  имело место только для четных  $n$ . Но наиболее предпочтительными являлись реакции с образованием  $C_3$  для  $n > 9$  ( $P > 10^{-1}\%$ ). При этом заряженные фрагменты с четным  $n$  проявлялись всегда с относительно большими вероятностями.

Для гетероядерных кластерных ионов практически во всех исследованных реакциях преимущественно наблюдался осколок  $Cs^+$ :



Вероятность этих процессов оценивалась в пределах  $0.1 \pm 10\%$  в зависимости от размеров кластера. Кроме того, для группы ионов  $C_n Cs_3^+$  были установлены менее предпочтительные реакции фрагментации с образованием нейтрального атома углерода:



Мономолекулярная фрагментация  $C_n Cs_k^-$  регистрировалась в широком диапазоне размеров этих частиц, причем для всех реакций этого вида типичным продуктом был атом цезия:



В реакциях (3), (4), (5), измеренные величины вероятностей распада  $C_n Cs_3^+$  и  $C_n Cs_k^-$  показывают, что частицы с четным  $n$  менее подвержены фрагментации, чем с нечетным  $n$ .

Осцилирующий характер представленных выше распределений можно объяснить с точки зрения простой  $\pi$ -электронной модели внешних электронных оболочек кластеров  $C_n$  [6, 8]. Согласно

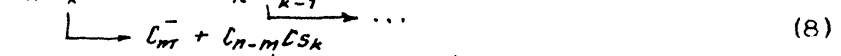
этой модели для  $n$ -атомного кластера, имеющего  $4n$  валентных электрона, существует  $n$   $\pi$ -состояний, в которых может находиться  $2n-2$  электрона, образуя внешнюю орбиталь. Структура этой  $\pi$ -орбитали такова, что для четных  $n$  имеет место полное заполнение электронных уровней, тогда как для нечетных  $n$  они заполнены лишь наполовину. Образование  $C_n^-$  с четным  $n$  идет через заполнение не полностью занятых электронных уровней и поэтому является более выгодным по сравнению со случаем нечетных  $n$ , чем и объясняется осцилляция в распределении  $C_n^-$ .

Такая электронная структура кластеров  $C_n$  полностью определяет и стабильность образующихся гетероядерных кластеров  $C_nCs_k^+$ . С точки зрения насыщенности валентных связей кластерные ионы  $C_nCs_3^+$  и  $C_nCs^-$  с четным  $n$ , имеющие одниковые электронные структуры, являются наиболее предпочтительными, так как отвечают полностью заполненной внешней оболочке. В то же время для  $C_nCs_3^+$  ( $C_nCs^-$ ) с нечетным  $n$  два валентных электрона могут участвовать в связи только через возбужденные состояния 5 электронов, что энергетически невыгодно.

Представленные выше результаты свидетельствуют о том, что распыление графита ионами  $Cs^+$  инициирует образование крупных гетероядерных кластерных ионов  $C_nCs_k^+$  ( $n_{max} = 36$ ). При этом ионы  $C_nCs_3^+$  являются преобладающим типом положительных вторичных ионов, а кластеры  $C_nCs^-$  по интенсивности конкурируют с эмиссией гомоядерных  $C_n^-$ . Относительная интенсивность отдельных групп ионов и направленность мономолекулярной фрагментации показывают, что, как для положительных, так и отрицательных гетероядерных кластеров более устойчивыми являются частицы с нечетным числом составляющих их атомов:

$$n+k = 2p+1, \quad p=1, 2, 3, \dots \quad (6)$$

При описании механизма эмиссии таких молекул, по-видимому, необходимо учитывать весь комплекс сложных явлений, протекающих в приповерхностной области. Следует предположить, что имеют место следующие стадии ионной эмиссии при распылении графита ионами  $Cs^+$ : имплантация ионов  $Cs^+$  и формирование поверхностных слоев с сильно выраженным ионным характером межатомных связей, каскадное выбивание сложных молекулярных комплексов в состоянии сильного колебательного возбуждения, фрагментация выбитых молекул. Последний из этих процессов, очевидно, оказывает существенное влияние на зарядовый и массовый состав вторичных частиц. Мы полагаем, что вид рассмотренных масс-спектров в основном обусловлен последовательностью интенсивных реакций фрагментации как образующихся нейтральных частиц



так и заряженных гетероядерных кластеров по реакциям (3)–(5).

## Список литературы

- [1] К р о т о Н.В., А 1 1 а f A.W., В а 1 м S.P. // Chem. Rev. 1991. V. 91. P. 1213–1235.
- [2] Е л е д к и й А.В., С м и р н о в Б.М. // УФН. 1991. Т. 161. С. 173–191.
- [3] Н е в а� d A.F. et al. // Nature. 1991. V. 350. P. 600.
- [4] Д ж е м и л е в Н.Х., Б е к к е р м а н А.Д., Р о т-ш тейн В.М., Ц а й Ю.М. // ПТЭ. 1990. № 3. С. 145–148.
- [5] Б е к к е р м а н А.Д., D z h e m i l e v N.Kh., R o t s t e i n V.M. // Surf. and Interf. Anal. 1990. V. 15. P. 587–590.
- [6] J o u y e s P., L e l e y t e r M. // J. Physique. 1984. V. 45. P. 1681–1687.
- [7] D z h e m i l e v N.Kh., G o l d e n b e r g A.M., V e r i o v k i n I.V., V e r k h o t u r o v S.V. // Int. J. Mass Spectrom. 1991. V. 107. P. 19–25.
- [8] P i t z e r K.S., C l e m e n t i E. // J. Amer. Chem. Soc. 1959. V. 81. P. 4477–4482.

Поступило в Редакцию  
22 февраля 1993 г.